



سالنهمین سمینار ملی مهندسی سطح

بهمن ماه ۱۳۹۴

مطالعه‌ای بر تاثیرات توپوگرافی سطحی بر روی استحکام چسبندگی کامپوزیت پایه اپوکسی بر روی فولاد سازه

کریم اصولی بستان آباد^۱، ابوالفضل توتونجی^۲

^۱. شرکت دانش‌بیان فناوران کامپوزیت آذربایجان، مرکز رشد واحدهای فناور دانشگاه تبریز (مرتب)

^۲. دانشکده مهندسی مکانیک، دانشگاه صنعتی ارومیه (استادیار)

چکیده

بروز ترکیدگی و نشتی در لوله‌های انتقال سیال در کشور امری رایج است. در پژوهش حاضر با رویکرد بازسازی خطوط لوله انتقال آب با استفاده از وصله‌های کامپوزیتی پایه اپوکسی تقویت شده با الیاف شیشه، بهینه‌سازی چسبندگی وصله‌های کامپوزیتی بر سطح فولاد مورد مطالعه قرار گرفته است. برای این منظور ابتدا چسب پایه متاکریلات بدلیل استحکام چسبندگی بالای این چسب، به عنوان پلیمر واسط انتخاب شد. تنوری‌های چسبندگی بیان می‌کنند که اتصالات قوی بوسیله ایجاد دوقطبی‌هایی در سطح که نیروهای واندروالسی را افزایش می‌دهند، با برطرف شدن لایه‌های مرزی سست و اصلاح توپوگرافی سطوح بدست خواهد آمد. لذا آماده‌سازی سطحی با زبری و تمیزی بهینه، عاری از انواع آلودگی‌ها هم در سطح فولاد و هم سطح کامپوزیت یک امر کلیدی در دستیابی به اتصالات پر استحکام کامپوزیت-فولاد سازه است. بدین منظور با استفاده از سه سنباده مش ۱۰۰، ۲۲۰، ۵۰۰ و پولیش، سطح فولاد پایه، آماده‌سازی شده و سپس توسط محلول‌های استون و Finish روی این سطوح عملیات تمیزکاری انجام گردیده و تست چسبندگی اتصالات کامپوزیت-فولاد سازه در حالت بارگذاری بر شی انجام شد. بیشترین استحکام چسبندگی در سطح پولیش خورده و چربی‌زدایی شده با محلول Finish حاصل گردید.

واژه‌های کلیدی: اتصالات چسبی؛ توپوگرافی؛ کامپوزیت زمینه اپوکسی تقویت شده با الیاف شیشه؛ استحکام چسبندگی؛ آماده‌سازی سطحی؛ چسب متاکریلات؛ لوله‌های انتقال سیال.

مقدمه

بروز ترکیدگی و نشتی در لوله‌های انتقال سیال در کشور امری رایج است. ترکیدگی در لوله‌ها بسته به جنس لوله و شرایط محیطی ممکن است ناشی از یک شکست ترد یا جوانه‌زنی ترک‌ها و رشد بعدی آنها بوده و یا بعلت خوردگی و تنش‌های اعمالی و همچنین صدمات مکانیکی باشد. آسیب پذیری این موضع با اعمال بارهای دینامیکی خارجی از قبیل بارهای اعمال شده توسط ماشین‌های حفاری و عبور و مرور وسایل نقلیه سنگین و غیره شدت می‌یابد. پس از سنتاسایی موضع نشت، چندین روش برای بازسازی و راه اندازی مجدد خط وجود دارد که اهم آنها عبارتند از: (۱) جایگزینی کل لوله فرسوده با یک لوله سالم مشابه، (۲) در صورت امکان جوشکاری لوله و وصله زدن قسمت معیوب و (۳) پیچیدن نوارهای کامپوزیتی دور قسمت آسیب دیده لوله.

در میان گزینه‌های ارائه شده، تنها روش کم هزینه، معابر و قابل اعمال روی لوله‌های با جنس‌های مختلف و با کمترین وقفه در کار انتقال، استفاده از نوارهای کامپوزیتی می‌باشد [۱]. این روش عدم پیشروی ترک و خوردگی و تداوم کار بلند مدت قسمت آسیب دیده را تا حد زیادی تضمین می‌کند.

تجربه‌های صنعتی در اروپا و آمریکا نشان داده‌اند که استفاده از کامپوزیت‌ها، ۰٪۲۴ نسبت به نوارهای فلزی و ۷۳٪ نسبت به روش جایگزینی لوله‌ها ارزان‌تر تمام می‌شود [۲]. استفاده از کامپوزیت‌ها، علاوه بر جنبه اقتصادی دارای مزایای دیگری نیز است که از آن جمله می‌توان به (۱) عدم نیاز به نقل و انتقال تجهیزات نصب سنگین، (۲) عدم نیاز به استفاده از دماهای بالای مورد نیاز در جوشکاری، (۳) کوتاه بودن مدت زمان اجرای فرآیند، (۴) حلولگیری از خوردگی‌های بعدی در محل تعمیرات و (۵) پایین نر بودن میزان آلودگی محیط زیست نسبت به روش‌های مرسوم دیگر [۳ و ۴]، اشاره کرد.

چسبندگی را می‌توان به پنج مکانیسم (پیوند یا جذب فیزیکی، پیوند شیمیایی، تئوری نفوذ، تئوری لایه مرزی ضعیف و پیوند مکانیکی یا تئوری درگیری مکانیکی) مربوط دانست که می‌توانند در فصل مشترک هم بصورت مجزا و هم با تشکیل پیوند اتفاق یافته‌اند. چسبندگی از (الف) پیوند مکانیکی بین چسب و زیرلایه و (ب) نیروهای شیمیایی شامل پیوندهای کووالانسی اولیه یا نیروهای قطبی ثانویه بین دو جز، ناشی می‌شود. به نظر می‌رسد مورد دوم مهم‌تر باشد و توجیهی است بر اینکه چرا ایجاد چسبندگی بر روی زیرلایه‌های خشی و غیرقطبی نظری پلی‌اتیلن و پلی‌تری‌فلوئورواتیلن به سختی صورت می‌گیرد؛ این سطوح باید در ابتدا بصورت شیمیایی پیش عملیات شوند تا گروه‌های قطبی در سطح تشکیل شود. اغلب برای تقویت پیوند مکانیکی در سطوحی که چسب روی آن اعمال خواهد شد، عملیاتی برای افزایش زیری سطوح انجام می‌شود؛ اما زیرسازی سطح همیشه مطلوب نیست چراکه در برخی موارد این امر موجب محبوس شدن حباب‌های هوا در ته شیارهای سطحی شده و موجب ایجاد مکان‌های تمرکز تنش و شکست در چسب‌های صلب می‌شود [۵-۷].

عموماً یک پلیمر مایع تماس مناسبی با یک سطح صاف و بدون آلودگی برقرار می‌نماید. نفوذ پلیمر به داخل حفرات یک سطح خشن به زاویه تماس پلیمر با سطح و شکل حفرات سطحی بستگی دارد. اگر این موارد بصورت مطلوبی برآورده شوند، پلیمر در حالت تعادل، نفوذ خوبی در حفرات خواهد داشت. نرخ نفوذ توسط

رابطه واشنبورن^۱ بیان می‌شود. اندازه زاویه تماس بین مایع و یک سطح خشن وابسته به مشخصات توبوگرافی سطح است. معمولاً با فرض ویرگی‌های ایده‌آل سطحی، نفوذ مایع به داخل یک حفره استوانه‌ای شکل تا جایی ادامه می‌یابد که فشار ناشی از هوا محبوس در حفره برابر با فشار ناشی از نیروهای موئینگی شود. مسافتی که مایع داخل حفره به طول L و شعاع r نفوذ می‌کند توسط رابطه (۱) بیان می‌شود:

$$X = L \left(1 - \frac{P_a r}{\gamma_{LV} \cos \theta + P_a r} \right) \quad (1)$$

در جاییکه؛ P_a فشار اتمسفر، θ و γ_{LV} به ترتیب انرژی سطحی و زاویه تماس مایع (چسب) هستند. بوضوح مشاهده می‌گردد که هرچه قطر حفره کوچکتر باشد، نسبتی از آن که توسط مایع تا حصول تعادل پر می‌شود، افزایش می‌یابد. بسته به ساختار شیمیایی اجزا، هندسه سطح و فاصله لایه‌ها در اتصالات، اندرکنش‌های مولکولی ممکن در جدول (۱) نشان داده شده است [۸ و ۹].

فلزات، اکسیدهای فلزی و سرامیک‌ها عموماً دارای انرژی آزاد سطح بیشتر از حدود 2500 mJ/m بوده و بنابراین سطوح جامد انرژی بالا نامیده می‌شوند. چنین سطوحی به راحتی توسط چسب‌های آلی با مقادیر انرژی آزاد سطح کمتر از حدود 2500 mJ/m خیس می‌شوند و منجر به تماس بین سطحی گسترده‌ای می‌گردند. بعلاوه مقدار بالای انرژی آزاد سطح مورد تماس، منجر به تشکیل نیروهای ثانویه بین سطحی نسبتاً قوی می‌گردد [۱۰]. جهت اطلاع از چگونگی حصول استحکام پیوندی خوب مباحث فوق مفیدند، ولی بسته به شرایط عملیات، چند عامل اتصال چسبی را پیچیده می‌سازد. این عوامل ممکن است منجر به افزایش یک لایه مرزی ضعیف روی سطح شده و مانع حصول اتصال چسبی پیش‌بینی شده در مباحث فوق گردد. این پارامترها عبارتند از: (الف) اغلب ممکن است سطح با یک لایه از انواع روغن‌ها، گریس یا واکس حافظت شده باشد، در این صورت اگر چنین لایه‌هایی قبل از عمل پیوند چسب از بین نرود، در فرآیند اتصال به عنوان لایه مرزی ضعیف عمل می‌نماید. (ب) چون سطوح با انرژی بالا و تمیز به سرعت ناخالصی‌های محیط اطراف را جذب می‌نمایند اگر برای از بین بردن آن اقدام نشود، مانند یک لایه مرزی ضعیف عمل می‌کنند. استباط فنی از نکات فوق اساساً این است که در بسیاری از موارد جهت حصول مقاومت‌های اتصال چسبی خوب لازم است لایه‌های محافظ گریس، رسوبات و غیره توسط یک مرحله چربی‌زدایی پاک گردیده و سطوح فعال توسط سایش مکانیکی احیا گرددند [۱۱-۱۲].

بهود چسبندگی سطوح فولاد و کامپوزیت در پیشبرد موقتی آمیز این پژوهش و در نهایت ارائه بهترین روش بنظرور بازسازی خطوط لوله انتقال آب نقش کلیدی را دارد. هدف از پژوهش حاضر بالا بردن استحکام اتصالات فولاد - کامپوزیت پایه اپوکسی تقویت شده با الیاف شیشه است. اصلی‌ترین ضعف اتصالات کامپوزیت‌های پایه پلیمری - فولاد از استحکام ضعیف فصل مشترک کامپوزیت با فولاد نشأت می‌گیرد، لذا

^۱ - Washburn

ایجاد یک تطابق مناسب بین دو جزء اتصال در بهبود استحکام، اصلی‌ترین نقش را ایفا می‌کند. همانطوریکه پیشتر بیان گشت، بمنظور حصول استحکام مکانیکی مناسب در اتصالات چسبی آماده‌سازی سطح امری مهم است که بدین منظور سطوح با انواع توپوگرافی‌ها و پیش عملیات چربی‌زدایی مورد مطالعه قرار گرفته‌اند.

مواد و روش تحقیق

در طرح پژوهشی حاضر، با توجه به ویژگی‌های مطلوب مکانیکی پلیمر اپوکسی، مانند ضریب سخت پایی بالا، چسبندگی سطحی عالی، زمان مناسب اتمام چرخه‌های پخت و ویسکوزیتی مطلوب پلیمر پایه اپوکسی، این پلیمر جهت ساخت کامپوزیت (وصله) استفاده شد. بدین منظور از رزین اپوکسی (۲۰۱۵) و هاردنر آمینی (۲۰۱۲) از سری محصولات اپولام^۱ ساخت شرکت اکسون^۲ کشور فرانسه استفاده شده و در مورد فاز تقویت کننده نیز با در نظر گرفتن اثر مطلوب ناهمسانگردی خواص مکانیکی از فاز تقویت کننده رشته‌ای استفاده شد. علاوه بر آن نظر به خواص سطحی مناسب فصل مشترک الیاف شیشه و رزین‌های پایه اپوکسی و همچنین صرفه اقتصادی بالای الیاف شیشه نوع ۵، این الیاف بعنوان فاز تقویت کننده مورد استفاده قرار گرفت. بمنظور ساخت کامپوزیت، از روش لایه‌گذاری دستی الیاف شیشه در قالب باز از جنس پلی اتیلن PE استفاده شد. در این روش ابتدا هاردنر و رزین به نسبت وزنی ۱ به ۳ توزین شدند. سپس الیاف شیشه تک جهته نیز به نسبت وزنی ۱ به ۳ نسبت به زمینه پلیمری توزین شد. پس از اختلاط همگن رزین و هاردنر، الیاف تقویت کننده به دقت توسط مخلوط رزین و هاردنر خیس شده و در قالب روباز قرار گرفت. شکل (۱) نحوه لایه‌گذاری کامپوزیت در قالب را با استفاده از الیاف شیشه تک جهته نشان می‌دهد.

برای اتصال کامپوزیت پایه اپوکسی به سطح فولادی چسب متاکریلات ۳۲۹۵ محصول شرکت Holdtite بدلیل خواص مکانیکی مطلوب و زمان گیرش (سفت شدن) پائین مورد استفاده قرار گرفت. برخی از محدودیت‌های اعمال تست هیدرواستاتیک بر روی لوله‌های بازسازی شده انتقال سیال، عبارتند از: ناهمگونی و زمان بر بودن انجام تست، قابلیت تکرار پذیری کم، محدودیت‌های آنالیز نتایج، محدودیت نمونه برداری از سطوح شکست، دقت کم، هزینه بالای مواد مصرفی و غیره. لذا طراحی آزمایش‌هایی که بتوان نتایج آنها را با خطای ناچیزی جایگزین نتست فوق الذکر کرد، ضروری به نظر می‌رسد، لذا از نمونه‌های تست استحکام چسبندگی بر شی تحت عنوان SLS^۳ طبق استاندارد 1002-ASTM-D با نرخ اعمال بار ۱/۳ mm/min بمنظور برآورد استحکام چسبندگی کامپوزیت پایه اپوکسی تقویت شده با الیاف شیشه بر روی سطح فولاد استفاده شد. پروفیل‌های فولادی استفاده شده از جنس فولاد کربنی ساده سازه‌ای St-37 بود. هندسه و ابعاد نمونه‌های تهیه شده مطابق استاندارد ذکر شده در تصاویر شکل (۲) نشان داده شده است.

¹- Epolam

²- Axson Technologies

³- Single Lap Shear

برای رسوب زدایی سطح فولاد، قبل از اعمال پلیمر واسط (چسب)، سطح نمونه‌ها طبق استاندارد ASTM D2651-90 و با استفاده از سباده‌های کاربرید سیلیسیومی تا مش ۱۰۰۰ و خمیر حاوی ذرات ساینده Al_2O_3 بصورت مکانیکی سباده‌زنی سپس توسط فرز میناتوری پولیش کاری شد. سپس نمونه‌ها با آب مقطر به دقت شسته شد. برای بررسی اثر مواد چربی‌زدا از دو محلول، با نام‌های اختصاری finish (با ترکیبات سدیم تری‌بلی‌فسفات، سدیم سیلیکات، سدیم کربنات، سدیم پرکربنات) و استون (CH_3COO), جهت چربی‌زدایی سطح نمونه‌ها استفاده شد. پس از عملیات چربی‌زدایی نمونه‌ها برای عملیات اعمال پلیمر واسط بکار گرفته شدند. با انجام این عملیات سطح نمونه‌ها فعال شده و خصوصیات ترشوندگی سطوح و استحکام چسبندگی پلیمر واسط مورد ارزیابی قرار گرفتند.

برای آماده سازی سطح کامپوزیت پایه اپوکسی تقویت شده با الیاف شیشه، سطح مذبور طبق استاندارد-ASTM 97-2093 D با محلول استون شستشو داده شد.

در پژوهش حاضر برای بررسی بیشتر سطوح شکست از دستگاه میکروسکوپ الکترونی رویشی دانشگاه تبریز مارک MIRA3 FEG-SEM ساخت کمپانی Tescan کشور چک استفاده گردید که این دستگاه دارای فیلمان انتشار میدانی¹ بوده و در دو حالت خلا بالا و خلا پایین (مناسب برای نمونه‌های نارسانا) کار می‌کند. وضوح این دستگاه تا nm ۱ بوده و قدرت بزرگنمایی آن تا ۱ میلیون برابر با اعمال ولتاژ ۳۰ kV می‌باشد. همچنین برای مشاهده توبوگرافی سطح نمونه‌ها از یک میکروسکوپ نیروی اتمی AFM مدل Nanosurf-Mobile S ساخت کشور سوئیس موجود در آزمایشگاه مرکزی دانشگاه تبریز استفاده شد. برای سنجش استحکام نمونه‌های چسبندگی و بمنظور برآورد استحکام چسبندگی مکانیکی کامپوزیت پایه اپوکسی تقویت شده با الیاف شیشه بر سطح فولاد سازه، از یک دستگاه تست سنجش چسبندگی هیدرولیک با قابلیت ثبت و پردازش داده‌ها بصورت دیجیتال استفاده شد.

نتایج و بحث

برای انتخاب یک چسب جهت کاربردی مشخص چندین عامل بایستی در نظر گرفته شود. این عوامل عبارتند از؛ تعیین دامنه استحکام، نوع تشنش واردۀ بر اتصال چسبی، محدوده درجه حرارت، نوع زیر لایه، ابعاد و شکل قطعاتی که بایستی به همدیگر متصل شوند و همچنین شرایط فرایند اتصال. فلذ اشنازی و انتخاب یک چسب با استحکام چسبندگی مناسب، هم در سطح فولاد و هم در سطح کامپوزیت پایه اپوکسی تقویت شده با الیاف شیشه (اختصاراً کامپوزیت) یک امر مهم در دستیابی به اتصالات کامپوزیت - فولاد سازه با استحکام بالا است. بدین منظور با استفاده از چسب با پایه متاکربیلات (به علت چسبندگی مناسب همزمان آنها به سطوح آلی و غیرآلی) تست چسبندگی اتصالات کامپوزیت - فولاد سازه با سطح سنگ خورده و تمیزکاری شده توسط

¹- Field Emission

استون، در حالت بارگذاری برشی (SLS¹) انجام شد. شرایط سطح فولاد و کامپوزیت برای این آزمون‌ها یکسان بوده و همچنین پخت چسب بمدت ۶۰ دقیقه در دمای محیط انتخاب شده است. بمنظور سنجش استحکام چسبندگی، نرخ کرنش (سرعت حرکت فک‌ها) در عدد 0.2 mm/min تنظیم و ثابت شد.

در شکل (۳) منحنی‌های آزمون استحکام چسبندگی نمونه‌های برشی برای چسب متاکریلات نشان داده شده‌اند. استحکام چسبندگی چسب پایه متاکریلاتی به سطوح کامپوزیت و فولاد برابر با $11/23 \text{ MPa}$ (معادل $365 \text{ نیوتن در } 325 \text{ mm}^2$) در حالت بارگذاری برشی تعیین گردید و جابجایی نمونه‌ها در آزمون‌های فوق برابر با $1/35 \text{ mm}$ اندازه گیری شده است.

تئوری‌های چسبندگی بیان می‌کنند که اتصالات قوی بوسیله ایجاد دوقطبی‌هایی در سطح که تیروهای واندروالسی را افزایش می‌دهند، با برطرف شدن لایه‌های مرزی سست و افزایش زبری سطوح بدست خواهد آمد. لذا آماده‌سازی سطحی با زبری و تمیزی بهینه، عاری از انواع آلودگی‌ها هم در سطح فولاد و هم سطح کامپوزیت پایه اپوکسی تقویت شده با لیاف شیشه یک امر کلیدی در دستیابی به اتصالات پر استحکام کامپوزیت – فولاد سازه است. بدین منظور با استفاده از سه سمباده مش 100 ، 220 ، 500 و پولیش، سطح فولاد پایه، آماده‌سازی شده و سپس توسط محلول‌های استون و Finish روی این سطوح عملیات تمیزکاری انجام گردیده و تست چسبندگی اتصالات کامپوزیت – فولاد سازه در حالت بارگذاری برشی (SLS) انجام شد. شرایط پخت چسب بمدت ۶۰ دقیقه در دمای محیط انتخاب شده و بمنظور سنجش استحکام چسبندگی، نرخ کرنش (سرعت حرکت فک‌ها) در عدد 0.3 mm/min تنظیم و ثابت شد. منحنی‌های آزمون استحکام چسبندگی کامپوزیت به سطح فولاد حاصل از آماده سازی سطح توسط سمباده کاری با مشاهده متفاوت و پولیش و همچنین چربی زدایی توسط استون در شکل (۴-الف) و منحنی‌های مربوط به نمونه چربی‌زدایی شده با محلول Finish در شکل (۴-ب) نشان داده شده است.

با توجه به شکل (۴-الف) مشاهده می‌شود که استحکام نهایی چسبندگی چسب متاکریلات به سطوح کامپوزیت و فولاد به ترتیب برابر با $9/53 \text{ MPa}$ (معادل $3100 \text{ نیوتن در } 325 \text{ mm}^2$)، $10/31 \text{ MPa}$ (معادل $3252 \text{ نیوتن در } 325 \text{ mm}^2$)، $10/86 \text{ MPa}$ (معادل $3530 \text{ نیوتن در } 325 \text{ mm}^2$) و $11/55 \text{ MPa}$ (معادل $3755 \text{ نیوتن در } 325 \text{ mm}^2$) در سمباده‌های با مش 100 ، 220 ، 500 و پولیش بوده و جابجایی معادل نمونه‌ها به ترتیب برابر $1/1 \text{ mm}$ ، $1/21 \text{ mm}$ ، $1/37 \text{ mm}$ و $1/5 \text{ mm}$ است. نتایج حاصله بیان کننده این مطلب است که با افزایش مش سمباده تا حد پولیش استحکام نهایی چسبندگی و جابجایی معادل پلیمر واسط (چسب) به سطح کامپوزیت و فولاد افزایش می‌یابد. همچنین با توجه به شکل (۴-ب) مشاهده می‌شود که استحکام نهایی چسبندگی چسب متاکریلات به سطوح کامپوزیت و فولاد در نمونه‌های چربی‌زدایی شده با محلول Finish به ترتیب برابر با $10/18 \text{ MPa}$ (معادل $3310 \text{ نیوتن در } 325 \text{ mm}^2$)، $11/13 \text{ MPa}$ (معادل $3618 \text{ نیوتن در } 325 \text{ mm}^2$) و $11/94 \text{ MPa}$ (معادل $3210 \text{ نیوتن در } 325 \text{ mm}^2$) می‌باشد.

¹-single lap shear

(معادل 3880 نیوتن در 325 mm^2 و $12,63 \text{ MPa}$ (معادل 4105 نیوتن در 325 mm^2) در سمباده‌های با مشاندازه 500 ، 220 و پولیش بوده و جابجایی نمونه‌ها به ترتیب برابر $1/25\text{ mm}$ ، $1/4\text{ mm}$ ، $1/57\text{ mm}$ و $1/72\text{ mm}$ اندازه گیری شده است. نتایج حاصله بیان کننده این مطلب است که با بالا رفتن عدد مش سمباده و در نتیجه ایجاد سطحی نرم‌تر، استحکام چسبندگی افزایش می‌باید.

از مقایسه نمودارهای شکل (۴-الف) و (۴-ب) مشاهده می‌شود نمونه‌هایی که با محلول Finish چربی‌زدایی شده‌اند در تمامی شرایط نسبت به نمونه‌های چربی‌زدایی شده با استون از استحکام چسبندگی بالاتری برخوردارند. دلیل افزایش مقدار جابجایی پلیمر واسط با افزایش استحکام چسبندگی به علت انعطاف پذیری‌بودن چسب متاکریلات است به بیان دیگر نظر به اینکه چسب یک ماده پلیمری است هر مقدار که استحکام چسبندگی یا بعارتی در گیری چسب با سطح افزایش می‌باید مقدار استحکام نهایی افزایش یافته و متعاقباً به علت انعطاف پذیری‌بودن پلیمر واسط جابجایی معادل نیز بیشتر می‌شود.

تصاویر^۱ AFM از سطح فولاد سمباده زده شده در مشاهده‌های 100 ، 220 و پولیش پس از چربی‌زدایی سطح فولاد توسط استون و عملیات التراسوئیک در شکل (۵) نشان داده شده است.

اشکال (۵ الف-د) نشان دهنده توپوگرافی سطح نمونه‌های آزمون چسبندگی هستند. با مقایسه تصاویر فوق مشاهده می‌شود که با بالا رفتن عدد مش سمباده مورد استفاده، سطحی با زبری همگن و پستی و بلندی‌های منظم بدست می‌آید که مناسب برای در گیری مکانیکی و فعل برای اتصال است. همانطوری که در تصاویر مشاهده می‌شود با افزایش عدد مش سمباده مورد استفاده یک توپوگرافی با توزیع همگن‌تری حاصل می‌شود که در واقع این امر موجب ایجاد مکان‌های مرجح بسیاری شده و در نتیجه پلیمر واسط اعمال شده بر روی سطح در مکان‌های بیشتری با سطح اتصال برقرار می‌کند و به تبع آن موجب افزایش استحکام چسبندگی می‌شود که در نمودارهای شکل (۴-الف) و (۴-ب) مشاهده گردید.

نمودارهای شکل (۶) نشان دهنده پروفیل زبری سطوح مورد مطالعه در شکل (۵) هستند. اعداد مربوط به زبری متوسط سطوح در جدول (۲) آورده شده است.

با توجه به جدول (۲) کاهش زبری متوسط سطح تا $2/97 \text{ nm}$ در سطح پولیش شده علاوه بر ایجاد سطحی یکنواخت منجر به فعل شدن مکانیزم‌های دیگر در گیر در چسبندگی می‌شود که این مکانیزم‌ها در واقع از اندرکنش اتم‌های سطحی ناشی می‌شوند و بعارتی وقتی دو سطح در تماس تا حد زیادی بهم نزدیک می‌شوند نیروهای واندوالس و نیروهای دوقطبی حاصل از اتم‌های دو سطح می‌توانند برهم اثرگذار باشند در نتیجه در این حالت افزایش استحکام چسبندگی مشاهده شده در واقع تلفیقی از مکانیزم قفل شدن مکانیکی و نیروهای اتمی است. نتایج مشاهده شده در توافق با مطالعات بیسچوف و همکارانش می‌باشد [۸].

^۱- میکروسکوب نیروی اندی

تصاویر میکروسکوپی سطح کامپوزیت پس از گسیختگی از روی فولاد، مربوط به آماده‌سازی سطح توسط سمباده با مشاهدهای ۱۰۰، ۲۲۰ و پولیش پس از چربی زدایی سطح فولاد توسط استون در شکل (۷) نشان داده شده است.

با توجه به شکل (۷ الف) مشاهده می‌شود که نوع شکست غالب ایجاد شده در فصل مشترک کامپوزیت-فولاد از نوع چسبندگی است. شیارهای مشاهده شده بر روی سطح چسب که مربوط به شیارهای ناشی از سطح سمباده زده شده فولاد است، نیز نشانگر این مطلب است. از مقایسه تصاویر (۷ الف تا ج) و نتایج نمودارهای شکل (۴-الف) و تصاویر توپوگرافی می‌توان دلیل افزایش استحکام چسبندگی با کاهش زبری سطح را بوضوح مشاهده نمود. همانگونه که در شکل (۷ الف) مشاهده می‌شود شکست ایجاد شده در فصل مشترک کاملاً بصورت صاف و از نوع چسبندگی است در حالی که در تصویر (۷ ج)، نوع شکست هم چسبندگی و هم از نوع پیوستگی است بدلیل اینکه پلیمر واسط از مکان‌های در گیری بیشتری برخوردار بوده است (تصاویر توپوگرافی شکل ۵)، زبری‌های موجود در سطح شکست گواه این مطلب هستند. به بیان دیگر در عین حالی که شکست چسبندگی در فصل مشترک ایجاد می‌شده، مکان‌هایی وجود داشته‌اند که در آنها استحکام چسبندگی بدلیل تاثیر توام مکانیزم‌های چسبندگی بالاتر بوده و در نتیجه یک جایجاوی کششی در پلیمر واسط ایجاد شده است.

تصاویر میکروسکوپی سطح کامپوزیت پس از گسیختگی از روی فولاد، مربوط به آماده‌سازی سطح توسط سمباده با مشاهدهای ۱۰۰، ۲۲۰ و پولیش پس از چربی زدایی سطح فولاد توسط محلول Finish در شکل (۸) نشان داده شده است.

با توجه به تصویر شکل (۸ الف) مشاهده می‌شود که نوع شکست ایجاد شده در فصل مشترک کامپوزیت-فولاد از نوع چسبندگی است. شیارهای مشاهده شده بر روی سطح چسب که مربوط به شیارهای ناشی از سطح سمباده زده شده فولاد بوده نیز تصدیق کننده این مطلب است. از مقایسه تصاویر (۸ الف تا ج) و نمودارهای شکل (۴-ب) و تصاویر توپوگرافی می‌توان دلیل افزایش استحکام چسبندگی را با کاهش زبری سطح، مشاهده نمود. همانطوری که در تصویر (۸ ج)، مشاهده می‌شود نوع شکست در این مقطع هم چسبندگی و هم از نوع پیوستگی است بدلیل اینکه پلیمر واسط از مکان‌های در گیری بیشتری برخوردار بوده (تصاویر توپوگرافی شکل ۵)، زبری‌های موجود در سطح شکست گواه این مطلب هستند. به بیان دیگر در عین حالی که شکست چسبندگی در فصل مشترک ایجاد می‌شده، مکان‌هایی وجود داشته‌اند که در آنها استحکام چسبندگی بدلیل تاثیر توام مکانیزم‌های چسبندگی بالاتر بوده و در نتیجه یک جایجاوی کششی در پلیمر واسط ایجاد شده است.

از مقایسه نمودار شکل (۴-الف و ب)، همچنین تصاویر (۷ و ۸ ج) مشاهده می‌گردد که استحکام چسبندگی نمونه‌هایی که توسط محلول Finish آماده سازی شده‌اند نسبت به نمونه‌های آماده سازی شده توسط استون بیشتر است که دلیل این امر قدرت تمیزکنندگی قوی‌تر ترکیبات بازی نسبت به استون است، محلول Finish ترکیبی است از بازهای مختلف که بیشتر در بخش مواد و روش‌ها بیان شده است. از آنجاییکه که محلول‌های

بازی از قدرت انحلال چربی بالاتری برخوردارند در نتیجه نسبت به استون سطحی تمیزتر و همچنین لایه‌های مرزی ضعیف کمتری ایجاد می‌کنند که باعث افزایش قدرت چسبندگی پلیمر واسط به سطح فلز پایه می‌شود.

نتیجه‌گیری

- ۱) نتایج حاصله بیان کننده این مطلب است که با افزایش مش سمباده تا حد پولیش استحکام نهایی چسبندگی پلیمر واسط (چسب) به سطح کامپوزیت و فولاد افزایش می‌یابد. عبارت دیگر با بالا رفتن عدد مش سمباده استحکام چسبندگی از $10,88 \text{ Mpa}$ به $12,63 \text{ Mpa}$ می‌رسد.
- ۲) نتایج حاصله بیان کننده این مطلب است که با افزایش مش سمباده تا حد پولیش جابجایی معادل پلیمر واسط (چسب) به سطح کامپوزیت و فولاد افزایش می‌یابد. عبارت دیگر با بالا رفتن عدد مش سمباده جابجایی معادل از $1,25 \text{ mm}$ به $1,72 \text{ mm}$ می‌رسد.
- ۳) نمونه‌هایی که با محلول Finish چربی زدایی شده‌اند در تمامی شرایط نسبت به نمونه‌های چربی زدایی شده با استون از استحکام چسبندگی بالاتری برخوردارند. که دلیل این امر قدرت تمیز کنندگی قوی‌تر ترکیبات بازی نسبت به استون است. از آنجاییکه که محلول‌های بازی از قدرت انحلال چربی بالاتری برخوردارند در نتیجه نسبت به استون سطحی تمیزتر و همچنین لایه‌های مرزی ضعیف کمتری ایجاد می‌کنند که باعث افزایش قدرت چسبندگی پلیمر واسط به سطح فلز پایه می‌شود.
- ۴) با مقایسه تصاویر توپوگرافی مشاهده می‌شود که با بالا رفتن عدد مش سمباده مورد استفاده، سطحی با زبری همگن و پستی و بلندی‌های منظم بدست می‌آید که مناسب برای درگیری مکانیکی و فعال برای اتصال است.
- ۵) کاهش زبری متوسط سطح تا $2/97 \text{ nm}$ در سطح پولیش شده علاوه بر ایجاد سطحی یکتواخت منجر به فعال شدن مکانیزم‌های دیگر در چسبندگی می‌شود که این مکانیزم‌ها در واقع از اندرکنش اتم‌های سطحی ناشی می‌شوند و عبارتی وقتی دو سطح در تماس تا حد زیادی بهم نزدیک می‌شوند تیروهای واندوالس و تیروهای دوقطبی حاصل از اتم‌های دو سطح می‌توانند برهم اثرگذار باشند در نتیجه در این حالت افزایش استحکام چسبندگی مشاهده شده در واقع تلفیقی از مکانیزم قفل شدن مکانیکی و تیروهای اتمی است.

مراجع

1. M. Mohitpour, H. Golshan, A. Murray. Pipeline design and construction: a practical approach. 2nd ed. New York, ASME Press, 2003. p. 499–518.
2. C. Alexander, O. Ozden Ochoa. Extending onshore pipeline repair to offshore steel risers with carbon-fiber reinforced composites. Stress engineering services, Inc., Houston, TX, United States; 2010.
3. J. M. Duell, J. M. Wilson, M. R. Kessler. Analysis of a carbon composite overwrap pipeline repair system. Department of Mechanical Engineering, University of Tulsa, Tulsa, USA; 2008.

4. G. H. Koch, M. P. Brongers, N. G. Thompson, Y. P. Virmani, J. H. Payer. Corrosion cost a Preventative strategy in the United States. Federal Highway Administration Office of Infrastructure Research and Development; 2001. p. 260–311.
5. Rosen, S.L., Fundamental principles of polymeric materials. 1982: Wiley.
6. Mark, H.F. and J.I Kroschwitz, Encyclopedia of polymer science and engineering. 1989: Wiley.
7. Balden, A., Review: adhesively bonded joints and repairs in metallic alloy, polymers and composite materials: adhesives, adhesion theories and surface pretreatment. *J Mater Sci*, 2004. 39: p. 1.
8. Bischof, C., et al., The effect of pretreatment of the metal surface on the bonding strength of a composite of strip steel, primer and PVC. *International Journal of Adhesion and Adhesives*, 1985. 5(2): p. 97-102.
9. Tutunchi, A., et al., Adhesive strength of steel–epoxy composite joints bonded with structural acrylic adhesives filled with silica nanoparticles. *Journal of Adhesion Science and Technology*, 2015. 29(3): p. 195-206.
10. دکتر روح ا... باقری، اعظم خوش منش، "چسب‌ها؛ آشنایی و کاربرد"، جهاد دانشگاهی واحد صنعتی اصفهان، چاپ اول ۱۳۷۵
11. Tutunchi, A., et al., Effect of Al₂O₃ Nanoparticles on the Steel-Glass/Epoxy Composite Joint Bonded by a Two-Component Structural Acrylic Adhesive. *Soft Materials*, 2015. 10.1080/1539445X.2014.1003269.
12. Tutunchi, A., Steel-Epoxy Composite Joints Bonded with Nano-TiO₂ Reinforced Structural Acrylic Adhesive. *The Journal of Adhesion*, 2015. 10.1080/00218464.2014.961187.
13. Ariaee, S., et al., Modeling and optimization of mechanical behavior of bonded composite–steel single lap joints by response surface methodology. *International Journal of Adhesion and Adhesives*, 2014. 54: p. 30-39.

جدول ۱: اندرکنش‌های مولکولی که ممکن است در فرایند چسبندگی مشارکت داشته باشد [۸].

	Auxiliary valence bonding forces			Hi-bridge linkages	Principal valence bonding forces	
	Permanent dipoles	Induced dipoles	Dispersion forces		Covalent	Ionic
Distance (nm)	←	0.3–0.5	→	0.3–0.5	←	0.1–0.2 →
Linkage energy (kJ mol ⁻¹)	< 20 (Keesom energy)	< 2 (Debye energy)	0.1–40 (London energy)	≤ 50	60–700	600–1000
Theoretical adhesion force (MPa)	200–1750	35–300	60–360	500	17 500	5000
Experimental bonding strength (MPa)	←	—	15–25 —	→	—	—

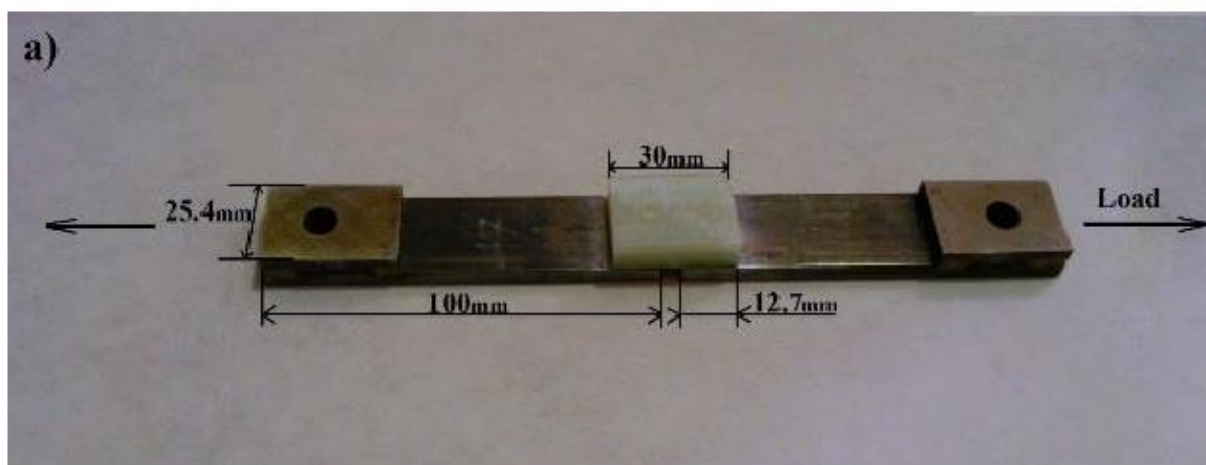
جدول ۲: زیری متوسط سطح نمونه‌های مورد بررسی.

بولیش	۵۰۰	۲۲۰	۱۰۰	مش
۲/۹۷	۱۰/۷۹۳	۴۰/۶۹۶	۹۰/۷۷	R _a (nm)

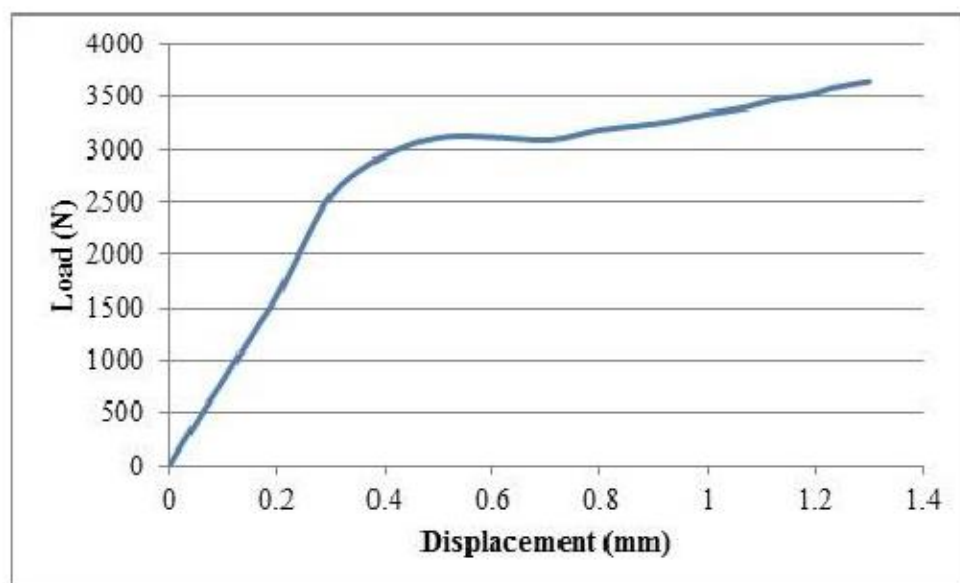


شکل ۱: نحوه لایه گذاری کامپوزیت پایه اپوکسی تقویت شده با الیاف شیشه.

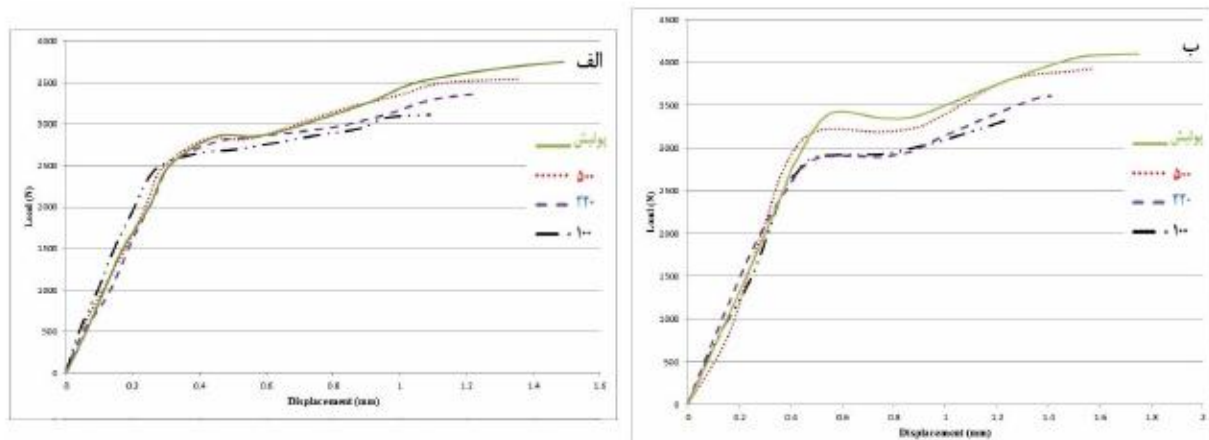
مطالعه‌ای بر تأثیرات توپوگرافی سطحی بر روی ...



شکل ۲: تصویر نمونه مورد استفاده در آزمون برش، مطابق با استانداردهای ASTM

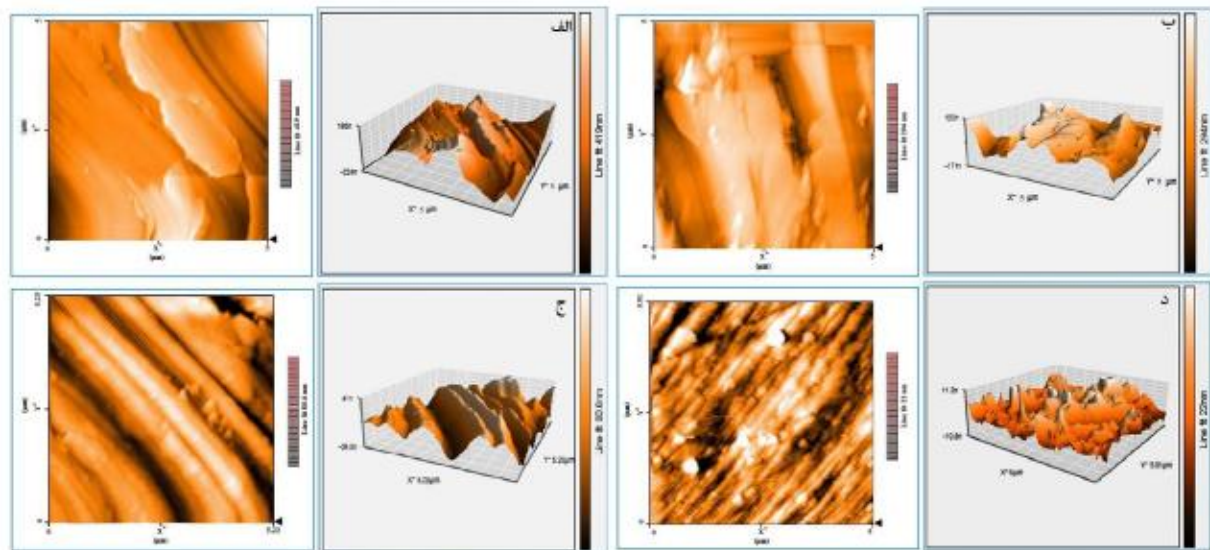


شکل ۳: نمودار نیرو- جابجایی نمونه برشی چسب متاکریلات.

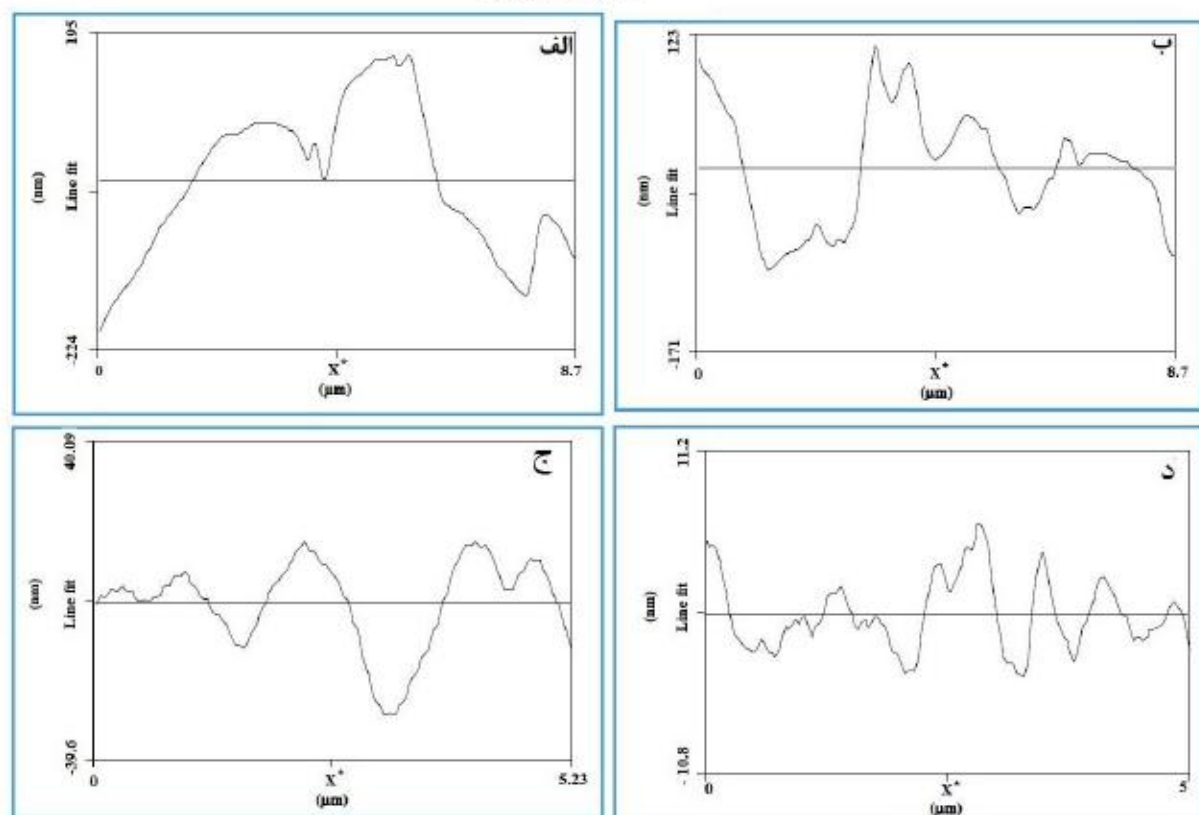


شکل ۴: محتی‌های آزمون برش نمونه‌های آماده سازی شده با محلول (الف) استون و (ب) در سه ماده‌های Finish ۱۰۰، ۲۲۰، ۵۰۰ و پولیش.

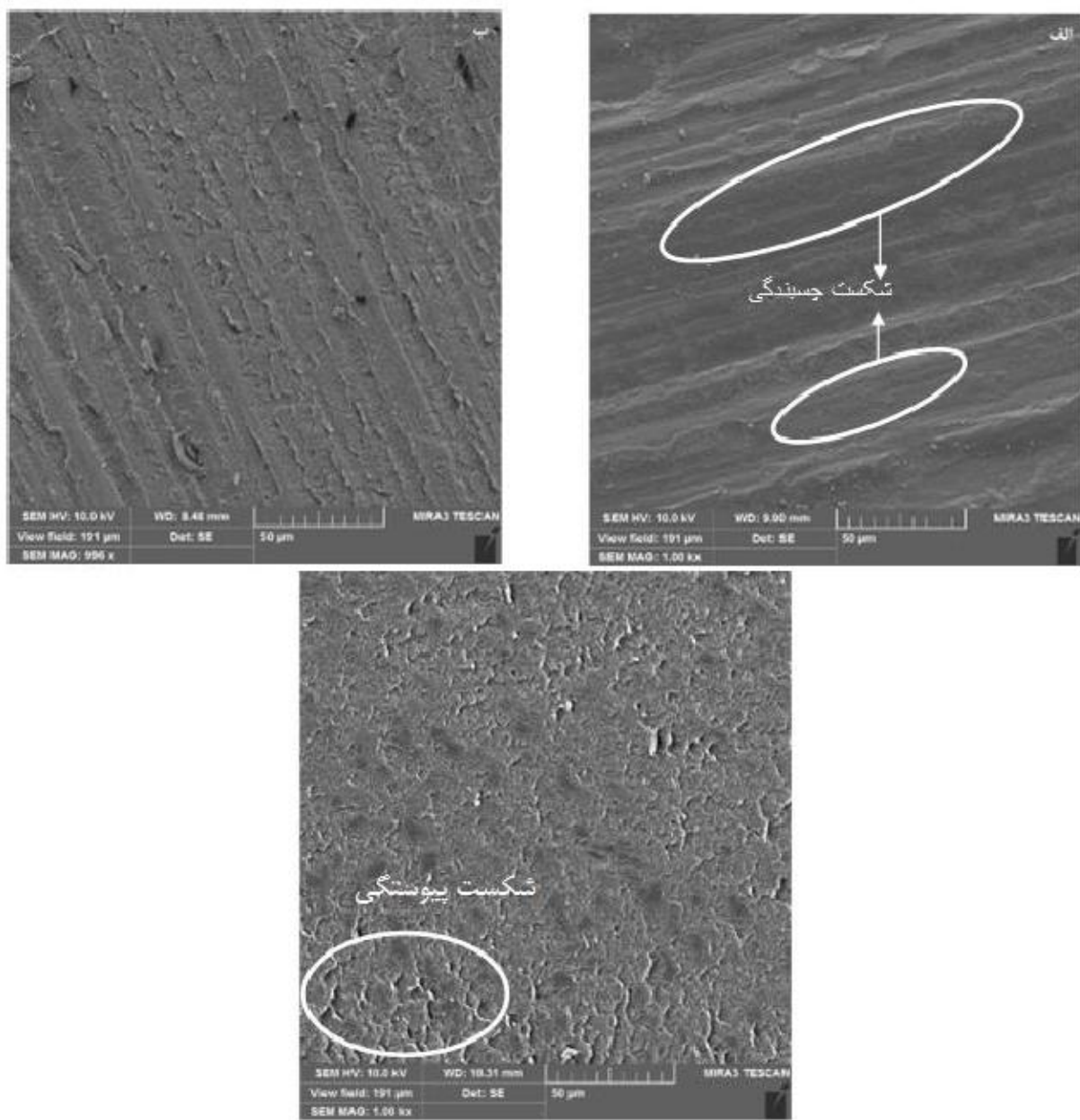
شانزدهمین سمینار ملی مهندسی سطح



شکل ۵: تصاویر AFM از سطوح آماده سازی شده (الف) سمباده مش ۱۰۰، (ب) سمباده مش ۲۲۰، (ج) سمباده مش ۵۰۰ و (د) پولیش.

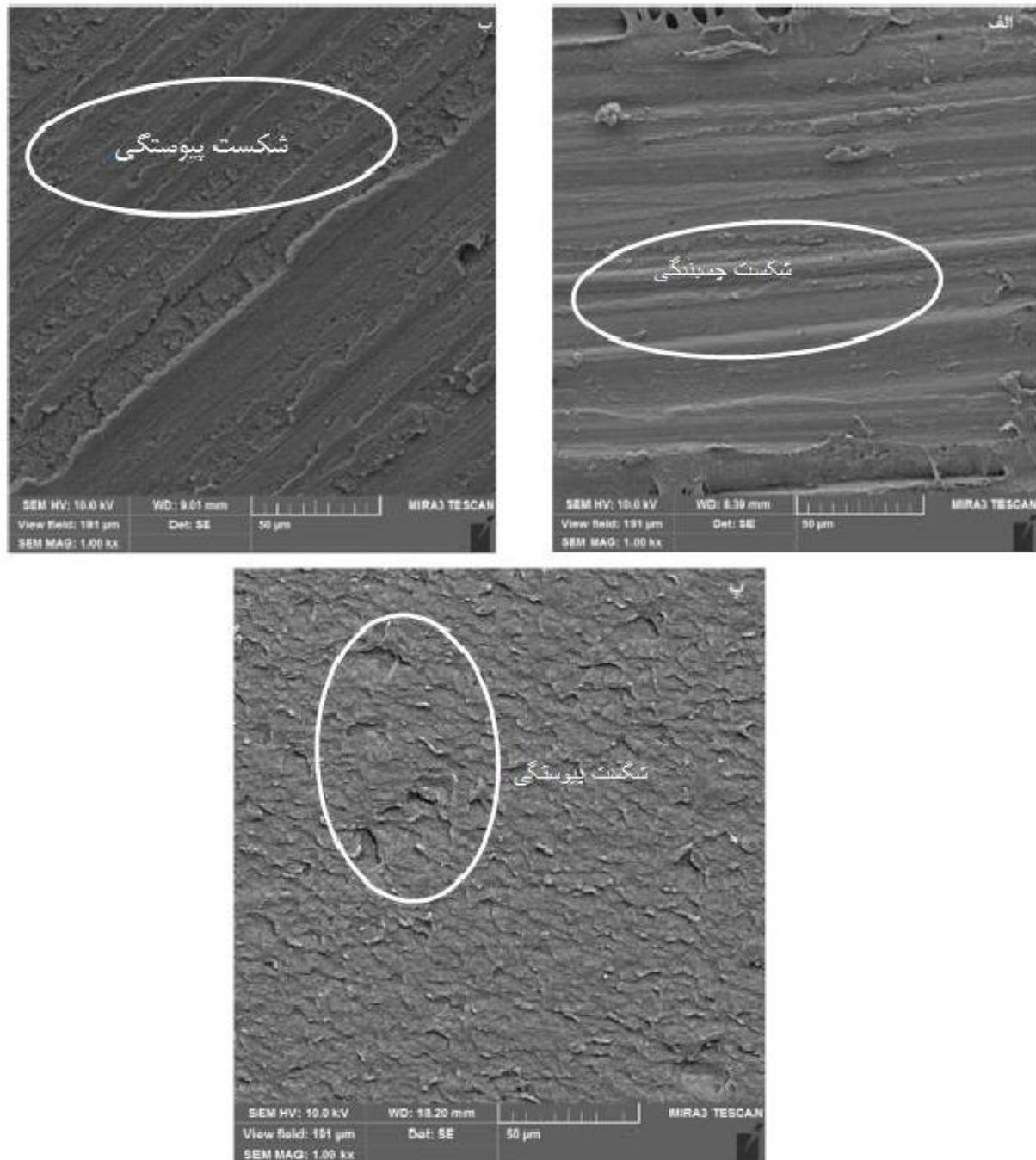


شکل ۶: پروفیل زبری سطوح آماده سازی شده (الف) سمباده مش ۱۰۰، (ب) سمباده مش ۲۲۰، (ج) سمباده مش ۵۰۰ و (د) پولیش.



شکل ۷: تصاویر میکروسکوب الکترونی از سطوح آماده سازی شده با استون (الف) سعاده مش ۱۰۰، (ب) سعاده مش ۲۲۰ و (ج) پولیش.

شانزدهمین سمینار ملی مهندسی سطح



شکل ۸: تصاویر میکروسکوپ الکترونی از سطوح آماده سازی شده با محلول Finish (الف) سمباده مش ۱۰۰، (ب) سمباده مش ۲۲۰ و (ج) پولیش.